

تاریخ دریافت: ۱۳۹۲/۱۱/۸

تاریخ پذیرش: ۱۳۹۳/۹/۳

نشریه شیلات، مجله منابع طبیعی ایران  
دوره ۶۸، شماره ۱، بهار ۱۳۹۴

ص ۷۹-۹۰

## بررسی مقایسه‌ای ویژگی‌های ریختی گونه سیاه ماهی توئینی در آب‌های داخلی ایران با استفاده از (*Capoeta damascina*)

### روش ریخت‌سنگی هندسی

- ❖ پریا رضوی‌پور: دانش‌آموخته کارشناسی ارشد، گروه شیلات، دانشکده منابع طبیعی، دانشگاه تهران، کرج، ایران
- ❖ سهیل ایگدری\*: استادیار، گروه شیلات، دانشکده منابع طبیعی، دانشگاه تهران، کرج، ایران
- ❖ هادی پورباقر: دانشیار، گروه شیلات، دانشکده منابع طبیعی، دانشگاه تهران، کرج، ایران
- ❖ آرش جوانشیر خویی: دانشیار، گروه شیلات، دانشکده منابع طبیعی، دانشگاه تهران، کرج، ایران
- ❖ یزدان کیوانی: دانشیار، گروه شیلات، دانشکده منابع طبیعی، دانشگاه صنعتی اصفهان، اصفهان، ایران

### چکیده

کمی‌سازی ویژگی‌های ریختی شکل بدن جمعیت‌های مختلف ماهیان سبب شناسایی بهتر آن‌ها می‌شود و درک بهتری از تاریخچه تکاملی جمعیت‌های گوناگون آن را ارائه می‌کند. از این رو، این تحقیق با هدف مقایسه ویژگی ریخت‌شناسی جمعیت‌های سیاه ماهی توئینی (*Capoeta damascina*) در آب‌های داخلی ایران با استفاده از روش ریخت‌سنگی هندسی به اجرا درآمد. برای این منظور تعداد ۳۷۳ نمونه سیاه ماهی توئینی از سیزده رودخانه از حوزه‌های کرمان، جلله، جازموریان، خلیج، هرمز، اصفهان و دریاچه نمک نمونه برداری شد. از نیمرخ چپ بدن ماهی‌ها عکس برداری شد و روی تصاویر دو بعدی حاصل به منظور استخراج داده‌های شکل بدن روش ریخت‌سنگی هندسی، با استفاده از نرم‌افزار TpsDig2 تعداد ۱۷ لندمارک تعريف و رقومی شد. داده‌های لندمارک پس از آنالیز پروکراسیت با استفاده از روش‌های آماری چندمتغیره PCA و CVA و آنالیز خوش‌ای تحلیل شد. الگوهای تغییر شکل هر جمعیت نسبت به شکل میانگین کل جمعیت‌ها در شبکه تغییر شکل مصورسازی شد. نتایج نشان داد که تفاوت معنی‌داری در ویژگی‌های ریختی جمعیت‌های مورد بررسی وجود دارد ( $P < 0.0001$ ). این تفاوت‌ها مربوط به عرض بدن، ناحیه سر، موقعیت قرارگیری باله‌ها و ساقه دمی بود. نتایج همچنین نشان داد که جمعیت‌های مورد مطالعه سیاه ماهی توئینی حوزه دریاچه نمک از لحاظ شکل بدن کاملاً متفاوت است و سایر گروه‌ها به واسطه اختصاصات ریختی قابل تمایز است.

واژگان کلیدی: توئینی، ریخت‌سنگی هندسی، سیاه‌ماهی شکل بدن، لندمارک، *Capoeta*.

تعامل محیط و گونه اهمیت بسزایی دارد (Adams *et al.*, 2004). روش ریخت‌سنگی هندسی<sup>۱</sup> روشی مدرن نسبت به روش‌های سنتی است که در آن داده‌های لندمارک و خط سیر پیرامونی اطلاعات شکل ساختارهای زیستی را در قالب شکل استخراج می‌کند و به صورت گرافیکی به نمایش درمی‌آورد (Zelditch *et al.*, 2004). علاوه بر این، امکان تفسیر داده‌های این اشکال و آنالیز آماری آنها به راحتی امکان‌پذیر است (Adams *et al.*, 2004). در روش ریخت‌سنگی هندسی لندمارک پایه برخلاف روش سنتی که از فواصل بهمنزله داده‌های شکل استفاده می‌کند، الگوهای شکل نمونه‌ها بر اساس مختصات فضایی نقاط بهمنزله بازتابی از تغییرات شکل در بین ساختارهای زیستی بررسی و مقایسه می‌شود (Adams *et al.*, 2004). از این رو، با توجه به قابلیت‌های بالای روش ریخت‌سنگی هندسی در جداسازی اشکال زیستی، این تحقیق با هدف بررسی و مقایسه شکل بدن (ویژگی ریخت‌شناسنگی) جمعیت‌های سیاه‌ماهی توئینی در آبهای داخلی ایران با استفاده از روش ریخت‌سنگی هندسی به اجرا درآمد. نتایج این تحقیق به واسطه کمی‌سازی ویژگی‌های ریختنی شکل بدن جمعیت‌ها سبب شناسایی بهتر آنها می‌شود و درک بهتری از تغییرات ریختنی بر اساس جدایی زیستگاهی ارائه می‌کند.

## ۲. مواد و روش کار

### ۱۰. جایگاه‌های نمونه‌برداری

تعداد ۳۷۳ نمونه سیاه‌ماهی توئینی از سیزده رودخانه از حوزه‌های کرمان، دجله، جازموریان، خلیج فارس، هرمز، اصفهان و دریاچه نمک با استفاده از دستگاه الکتروشوکر و تور سالیک صید شد (جدول ۱). نمونه‌های صیدشده بلافصله در محلول گل میخک

## ۱. مقدمه

سیاه‌ماهی (*Capoeta*) از خانواده کپور ماهیان (Cyprinidae)، در جنوب غربی آسیا گسترش دارد و دارای بیست گونه است که هفت گونه از آن در ایران گزارش شده است (Coad, 2013). در ایران، گونه سیاه‌ماهی توئینی (*Capoeta damascina*) (Valenciennes, 1842) نسبت به سایر گونه‌های این جنس پراکنش وسیع‌تری دارد و در حوزه‌های دجله، هرمزگان، کرمان، جازموریان، کر، خلیج فارس، اصفهان، دریاچه نمک و کویر نمک یافت می‌شود (Abodoli, 2000). این گونه، بدنه دوکی شکل، دهان عرضی و کوچک و دندان حلقوی سه ردیفی با فرمول‌های  $4,3,2-2,3,4$  یا  $2,3,5-5,3,2$  دارد. سیاه ماهی توئینی به دلیل دارابودن نه عدد شعاع باله پشتی، فلس‌های کوچک و خال‌های بزرگ تیره‌رنگ از گونه‌های دیگر جنس *Capoeta* قابل تمایز است. در این گونه تعداد فلس‌های خط جانبی در بین و حتی درون جمعیت‌ها، در بررسی افراد زیاد، بسیار متغیر است (Krupp, 1985). تنوع ریختنی بالایی در بین جمعیت‌های مختلف این گونه در ایران گزارش شده است (Samaee & Patzner, 2013). (Coad, 2013) (2011) شش جمعیت این گونه را با استفاده از روش ریخت‌سنگی سنتی بررسی کردند و نشان دادند که بر اساس ویژگی‌های ریختنی، جمعیت‌های مورد مطالعه تفکیک‌پذیرند. فاکتورهای محیطی به واسطه انتخاب طبیعی سبب افزایش کارایی یک ریخت در بین افراد یک زیستگاه و در نتیجه جداسازی ریختنی جمعیت‌های آن در زیستگاه‌های مختلف می‌شود (Smith & Skulason, 1996).

در این بین برای آشکارسازی این تفاوت‌های ریختنی، مطالعات ریخت‌سنگی هندسی به دلیل انعکاس

1. Geometric morphometric

استخراج، سپس آزمون همبستگی آن‌ها با مختصات تانژانت معادل با استفاده از نرم‌افزار tpsSmall 1.20 (Rohlf, 2003) اجرا و تناسب فواصل پروکراست و تانژانت تأیید شد (Bookstein, 1991). بنابراین، با توجه به همبستگی به دست آمده، ماتریس حاصل از فواصل پروکراست مستخرج از داده‌های مختصاتی مربوط به شکل بدن جمعیت‌های مورد مطالعه با استفاده تحلیل‌های چندمتغیره تجزیه به مؤلفه‌های اصلی (PCA)، تجزیه همبستگی کانونی (CVA) بر اساس ارزش عدد P حاصل از Permutation test با ده هزار تکرار و آنالیز خوش‌های (CA) با انتخاب PAST الگوریتم Paired group با استفاده از نرم‌افزار تحلیل شد. به علاوه، برای نشان دادن درجه شباهت بین گروه‌های مورد مطالعه، فاصله Mahalanobis بین گروه‌ها در آنالیز CVA استخراج شد. مصورسازی تغییرات شکل بدن بر اساس میانگین شکل جمعیت‌ها نسبت به شکل میانگین کل<sup>۱</sup> با استفاده از شبکه تغییر شکل در نرم‌افزار MorphoJ صورت پذیرفت. این مقایسه بر اساس فاصله پروکراست است که سنجش استاندارد در بررسی تفاوت شکل در روش ریخت‌سنجدی هندسی است (Rohlf, 2001).

### ۳. نتایج

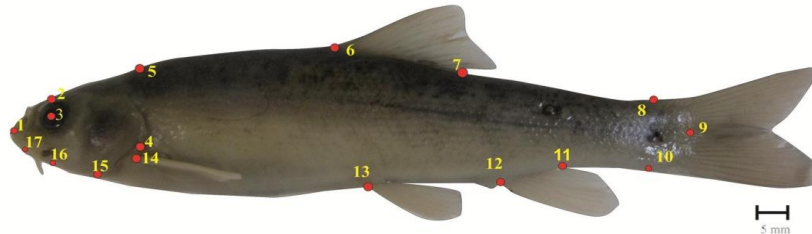
آزمون همبستگی فواصل پروکراست و تانژانت تناسب داده‌های روی هم گذاری شده برای انجام تحلیل‌های آماری را با همبستگی ۱ تأیید کرد. بررسی الگوهای تفاوت بالقوه بین جمعیت‌های مورد مطالعه با استفاده از تجزیه و تحلیل مؤلفه‌های اصلی (PCA) انجام شد. در آنالیز تجزیه به مؤلفه‌های اصلی (PCA) چهار مؤلفه اول

بیهوش، سپس در فرما لین ۱۰ درصد بافری تثیت و برای ادامه مطالعات به آزمایشگاه منتقل شد. به منظور کاهش تغییرات شکل بدن ناشی از رشد آلومتریک، فقط نمونه‌های بالغ و بزرگ‌تر از ۱۰۰ میلی‌متر انتخاب شد. به علاوه، تمامی نمونه‌های مورد بررسی فاقد بدشکلی نامعمول از جمله شکم برآمده بود. با توجه به اینکه مطالعات قبلی (Anvarifar et al., 2011; Heidari et al., 2013; Capoeta et al., 2013) درباره گونه‌های جنس Capoeta ویژگی‌های ریخت‌سنجدی جنسیت‌های نر و ماده را مشابه اعلام کرده بودند. همچنین، از آنجا که تفاوت ریخت‌سنجدی بین دو جنسیت سیاه ماهی توئینی گزارش نشده بود (Coad, 2014; Samaee & Patzner, 2011) نمونه‌ها بر اساس جنسیت از یکدیگر تفکیک نشدند.

### ۲.۰۲. روش مورد استفاده

در روش ریخت‌سنجدی هندسی داده‌ها، مختصات لندمارک‌ها برای استخراج داده‌های شکل استفاده شد و در شبکه تغییر شکل مصورسازی می‌شود (Adams et al., 2004). برای این منظور، نخست از نیمرخ چپ نمونه‌ها با استفاده از Copystand مجهر به دوربین دیجیتال Sony با قدرت تفکیک شش مگاپیکسل عکس‌برداری شد. سپس، برای استخراج داده‌های شکل در روش ریخت‌سنجدی هندسی تعداد ۱۷ نقطه لندمارک تعیین (شکل ۱) و با استفاده از نرم‌افزار TpsDig2 روی تصاویر دوبعدی رقومی شد. روی هم گذاری جایگاه لندمارک‌های نمونه‌ها به منظور حذف تغییرات غیرشکل (شامل مقیاس، جهت و موقعیت) با استفاده از آنالیز پروکراست (Procrustes Analysis) انجام شد (Rohlf, 2001). از آنجا که داده‌های حاصل از مختصات لندمارک‌ها از هندسه اقلیدسی تبعیت نمی‌کند، بنابراین برای تحلیل‌های آماری مختصات پروکراست

1. Consensus configuration



شکل ۱. لندهای بخش پوزه، نقطه وسط جسم، امتداد خطی موازی از لندهای شماره ۲ به سمت بالای بدن، انتهایی ترین نقطه سرپوش آبشنی، امتداد خطی موازی از لندهای شماره ۴ به سمت بالای بدن، انتهایی قاعده بالا پشتی، انتهایی قاعده بالا پشتی، حداکثر تورفتگی ساقه دمی، قسمت پایینی حداکثر تورفتگی ساقه دمی، انتهایی قاعده بالا مخرجی، انتهایی قاعده بالا مخرجی، ابتدایی ترین نقطه قاعده بالا شکمی، ابتدایی ترین نقطه قاعده بالا سینهای، زیرین سرپوش آبشنی، امتداد خطی موازی از لندهای شماره ۲ به سمت پایین بدن، انتهایی ترین شکاف دهانی زیرین سرپوش آبشنی، امتداد خطی موازی از لندهای شماره ۲ به سمت پایین بدن، انتهایی ترین شکاف دهانی

جدول ۱. جایگاه‌های نمونه برداری سیزده جمعیت مورد مطالعه سیاه ماهی توصیفی در آب‌های داخلی ایران

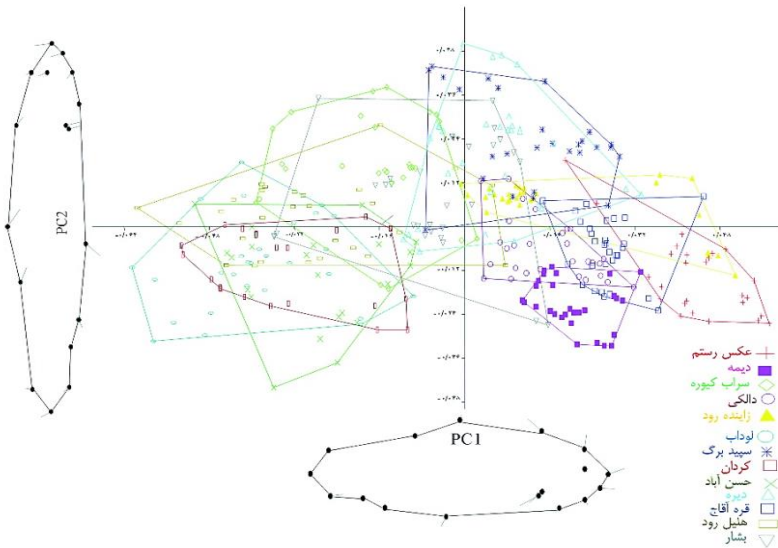
استان	حوزه	روندخانه	عرض	طول جغرافیایی	ارتفاع از سطح دریا
کرمانشاه	دجله	دیره	۳۴°۲۳'۲۵"	۴۵°۵۰'۰۳"	۵۹۴
کردستان	دجله	سپید برگ	۳۵°۱۸'۴۷"	۴۶°۲۰'۴۲"	۱۰۹۴
لرستان	دجله	سراب کبورو	۳۳°۴۸'۵۹"	۴۸°۴۳'۲۲"	۱۵۲۱
کهکیلویه و بویراحمد	دجله	بشار	۳۰°۵۷'۵۹"	۵۰°۱۹'۳۶"	۲۴۱۶
کهکیلویه و بویراحمد	دجله	لوداب	۳۰°۵۷'۶۰"	۵۱°۱۵'۲۹"	۱۴۵۳
چهار محال بختیاری	گاوخونی	دیمه	۳۲°۳۱'۷"	۵۰°۱۳'۴۱"	۲۲۳۵
اصفهان	گاوخونی	زاینده رود	۳۲°۳۴'۳۲"	۵۰°۲۳'۰۴"	۲۳۸۳
فارس	هرمز	عکس رستم	۲۸°۵۷'۱۲"	۵۴°۲۳'۴۸"	۱۴۱۸
فارس	خلیج	قره آقاج	۲۹°۳۸'۲۶"	۵۲°۱۱'۲۴"	۱۹۱۵
بوشهر	خلیج	دالکی	۲۹°۲۸'۰۲"	۵۱°۲۳'۴۴"	۱۶۵
کرمان	حسن آباد	کرمان	۳۰°۳۱'۴۸"	۵۷°۱۴'۳۲"	۲۱۹۷
کرمان	جازموریان	هلیل رود	۲۸°۵۵'۷۲"	۵۷°۴۰'۷۵"	۱۳۸۶
البرز	دریاچه نمک	کردان	۳۵°۵۷'۱۳"	۵۰°۵۰'۲۷"	۱۴۳۰

شکاف آبشنی است. همچنین، مؤلفه اصلی دوم نیز بیان‌کننده کوچک شدن سر، جابه‌جایی شکمی بالا پشتی، جابه‌جایی خلفی بالا مخرجی و شکمی، کم عرض شدن بدن در ناحیه بالا پشتی، پهن شدن ساقه دمی، جابه‌جایی پشتی چشم، کوچک شدن فاصله بین بالا سینهای، انتهایی شکاف آبشنی و لبه زیرین چشم است (شکل ۲). آنالیز CVA سیزده گروه مورد بررسی را به سه گروه عمده تقسیم کرد (شکل ۳) و تمامی

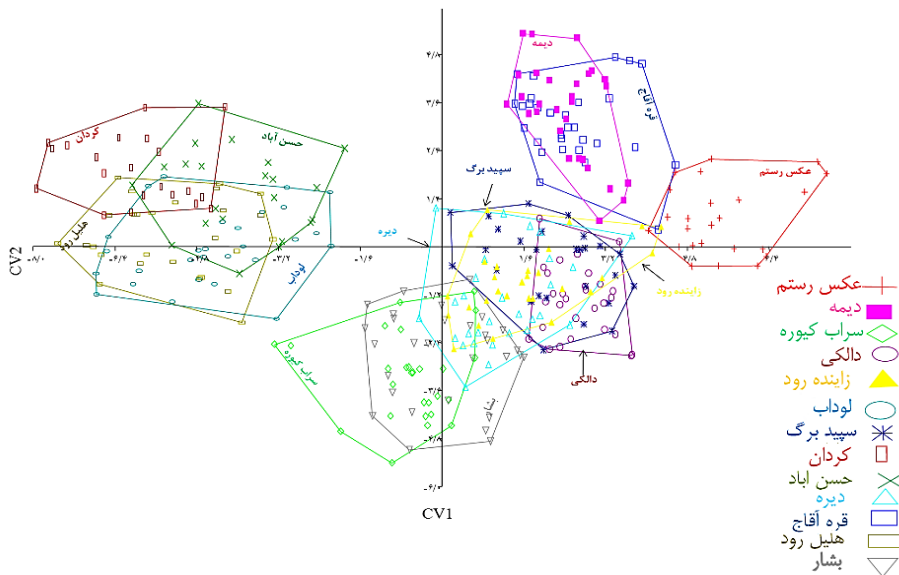
با مجموع ۹۰/۵۷ درصد از واریانس به منزله مؤلفه‌های مؤثر تشخیص داده شد که سهم هر کدام از این مؤلفه‌ها از مؤلفه اول تا مؤلفه چهارم به ترتیب ۵۹/۷۵، ۱۷/۲۷، ۷/۵۷ و ۵/۹۸ درصد بیشترین بار عاملی را به خود اختصاص داد. مؤلفه اول بیانگر ویژگی‌هایی ریختی شامل افزایش پهنای بدن، بزرگ شدن ناحیه سر، موقعیت بالای دهان و پوزه، جابه‌جایی خلفی بالا سینهای و انتهایی

این اساس کمترین فاصله از نظر شکل بدن بین جمعیت‌های رودخانه دیره و رودخانه چم‌گران از حوزه دجله ( $3/60$ ) است و بیشترین فاصله را جمعیت‌های رودخانه کردان از حوزه دریاچه نمک و رودخانه عکس رستم از حوزه هرمز ( $49/11$ ) داشت.

جمعیت‌های مورد مطالعه بر اساس ارزش P حاصل از آنالیز Permutation test با ده هزار تکرار از نظر شکل بدن تفاوت معناداری را نشان داد ( $P<0.0001$ ). فاصله Mahalanobis بین گروه‌های مورد مطالعه نیز از نظر شکل بدن در جدول ۲ آورده شده است. بر



شکل ۲. نمودار PCA شکل بدن سیزده جمعیت سیاه ماهی توئینی مورد مطالعه



شکل ۳. نمودار آنالیز CVA شکل بدن سیزده جمعیت سیاه ماهی توئینی مورد مطالعه

جدول ۲. فواصل Mahalanobis شکل بدن گروه‌های مورد بررسی حاصل از آنالیز CVA

رستم	عکس	قرهآقاج	دیمه	کرمان	دالکی	سراب	چمگران	دیره	هلیل‌رود	کردان	لوداب	زاینده‌رود
۷/۱۰	قرهآقاج											
۴/۰۵	دیمه											
۷/۶۹												
۷/۶۰	کرمان											
۹/۷۵												
۷/۷۱	دالکی											
۷/۷۵												
۷/۳۳	سراب											
۸/۷۲												
۷/۴۶	کیوره											
۷/۲۴	چمگران											
۷/۴۰	دیره											
۱۰/۷۳	هلیل‌رود											
۱۱/۴۹	کردان											
۷/۷۹	لوداب											
۱۰/۱۴	زاینده‌رود											
۷/۴۷	بشار											
۷/۴۴												
۷/۱۹												
۷/۶۷												
۷/۱۱												
۸/۱۹												
۷/۰۷												
۷/۸۱												
۴/۹۰												
۸/۲۲												
۷/۷۹												
۱۰/۱۴												
۵/۸۴												
۸/۷۷												
۹/۵۶												
۷/۹۷												
۹/۴۶												
۵/۰۶												
۸/۷۲												
۸/۰۴												
۶/۹۳												
۴/۹۶												
۷/۴۷												
۷/۵۳												
۷/۴۰												
۷/۵۶												
۷/۵۳												
۵/۶۳												
۴/۱۷												
۷/۹۴												
۷/۴۲												
۴/۹۵												
۵/۶۰												

چابه‌جایی لندمارک‌های ۴ و ۱۴) و ساقه دمی کوتاه‌تر (مربوط به چابه‌جایی لندمارک ۹) بود. شاخه دوم شامل سه زیرشاخه بود مربوط به جمعیت‌های جازموریان، سراب، چمگران و لوداب در شاخه اول، جمعیت‌های بشار، سراب، کیوره، چمگران و دیره در شاخه دوم و جمعیت‌های زاینده‌رود، رودخانه قره‌آقاج، رودخانه دالکی، رودخانه دیمه و رودخانه عکس رسنم هرمز در شاخه سوم: در زیرشاخه اول شکل بدن جمعیت جازموریان متفاوت‌تر از دو جمعیت کرمان و لوداب بود. بر اساس الگوی چابه‌جایی لندمارک‌ها، جمعیت جازموریان دارای سر کوچک‌تر، دهان فرقانی، پوزه کوتاه و کمی متمایل به سمت پایین (مربوط به چابه‌جایی لندمارک‌های ۱ و ۱۷)، موقعیت چشم نزدیک به لبه بالایی خط عمود بر چشم (مربوط به چابه‌جایی لندمارک‌های ۲ و ۳)، شکاف آبششی و باله سینه‌ای قدامی‌تر (مربوط به چابه‌جایی

بررسی الگوهای ریختی شکل بدن گروه‌های مورد مطالعه بر اساس نتایج مصورسازی شده در شبکه تغییر شکل نشان داد که شکل بدن جمعیت‌های مختلف این گونه از الگوهای متنوعی تبعیت می‌کند که در شکل ۴ در مقابل دندوگرام حاصل از آنالیز خوش‌های آورده شده است. بر این اساس، نمونه‌های مورد نظر از لحاظ شکل بدن در دو شاخه مجزا قرار گرفت (شکل ۴). شاخه خارجی مربوط به نمونه‌های سیاه‌ماهی توئینی رودخانه کردان از حوزه دریاچه نمک بود که در اعضای آن عرض بدن کوچک‌تر (مربوط به چابه‌جایی لندمارک‌های ۶ و ۷)، موقعیت باله پشتی خلفی (مربوط به چابه‌جایی لندمارک‌های ۸ و ۹)، سر کوچک (مربوط به چابه‌جایی لندمارک‌های ۱۳)، موقعیت باله پشتی خلفی (مربوط به چابه‌جایی لندمارک‌های ۱۷ و ۱)، پوزه کوتاه و متمایل به سمت پایین (مربوط به چابه‌جایی لندمارک ۱)، موقعیت باله سینه‌ای و انتهایی شکاف آبششی قدامی‌تر (مربوط به

ساقه دمی کشیده، پهن و متمایل به سمت بالای بدن (مربوط به جابه‌جایی لندمارک‌های ۹، ۸ و ۱۰) بود.

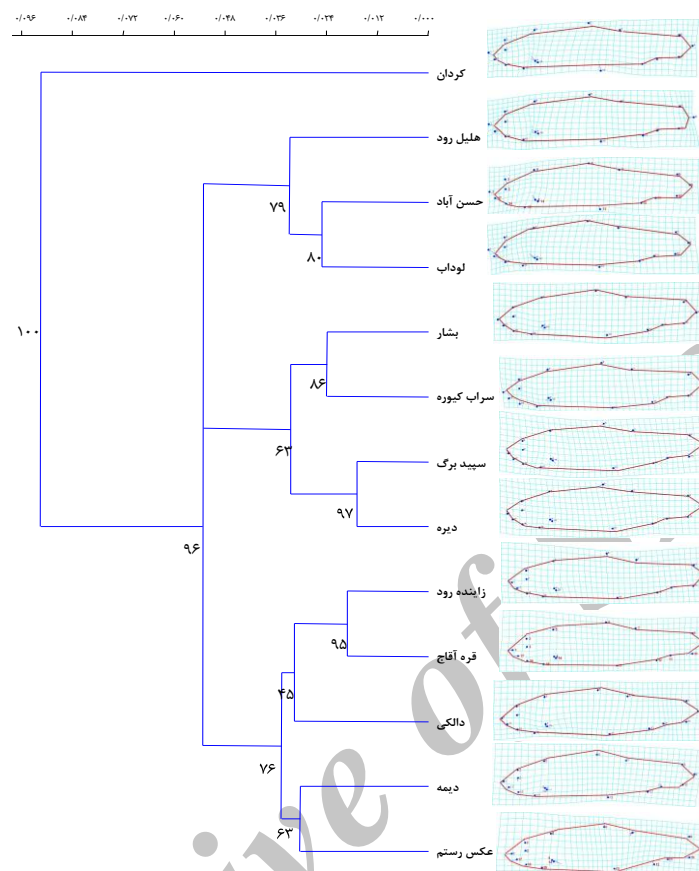
جمعیت رودخانه بشار دارای پوزه کوتاه، دهان فوچانی (مربوط به جابه‌جایی لندمارک‌های ۱۱ و ۱۷)، باله سینه‌ای و انتهای شکاف آبشنی شکمی‌تر (مربوط به جابه‌جایی لندمارک‌های ۱۴ و ۱۳)، عرض بدن بیشتر در ناحیه باله شکمی (مربوط به جابه‌جایی لندمارک ۱۲) و قاعده باله مخرجی کوچک (مربوط به جابه‌جایی لندمارک‌های ۱۱ و ۱۲) بسیار مشابه شکل کل بدن جمعیت‌ها بود. جمعیت رودخانه دیره نیز دارای سر متمایل به سمت بالا و دهان فوچانی (مربوط به جابه‌جایی لندمارک‌های ۱ و ۱۷)، موقعیت باله سینه‌ای و انتهایی شکاف آبشنی اندکی شکمی- خلفی (مربوط به جابه‌جایی لندمارک‌های ۱۴ و ۱۳)، موقعیت باله پشتی قدامی (مربوط به جابه‌جایی لندمارک‌های ۶ و ۷)، انتهای ساقه دمی در اعضای این گروه دراز (مربوط به جابه‌جایی لندمارک ۹) و باله شکمی خلفی با عرض بیشتر بدن (مربوط به جابه‌جایی لندمارک ۱۳) بود.

جمعیت چم‌گران نیز دارای سری کاملاً فوچانی و بزرگ با دهان فوچانی (مربوط به جابه‌جایی لندمارک‌های ۱، ۱۷ و ۳)، موقعیت باله سینه‌ای و انتهایی شکاف آبشنی کمی شکمی - خلفی (مربوط به جابه‌جایی لندمارک‌های ۱۴ و ۱۳)، انتهای شکاف آبشنی نزدیک به لبه زیرین چشم (مربوط به جابه‌جایی لندمارک‌های ۱۵ و ۱۶)، باله پشتی قدامی با عرض کمتر بدن در این ناحیه (مربوط به جابه‌جایی لندمارک‌های ۶ و ۷)، باله شکمی خلفی با عرض بدن پهن در این ناحیه (مربوط به جابه‌جایی لندمارک‌های ۱۳)، انتهای ساقه دمی طویل‌تر (مربوط به جابه‌جایی لندمارک ۹) و باله‌ای مخرجی و دمی نزدیک‌تر هم (مربوط به جابه‌جایی لندمارک‌های ۱۰ و ۱۱) بودند.

لندمارک‌های ۴ و ۱۴)، قاعده باله پشتی کوچک (مربوط به جابه‌جایی لندمارک‌های ۶ و ۷)، قاعده باله مخرجی بزرگ‌تر (مربوط به جابه‌جایی لندمارک‌های ۱۱ و ۱۲) و انتهای ساقه دمی فشرده‌تر و کوتاه (مربوط به جابه‌جایی لندمارک ۹) بود. اعضای جمعیت کرمان نیز دارای سر کوچک و فشرده‌تر، پوزه کوتاه‌تر (مربوط به جابه‌جایی لندمارک‌های ۱، ۱۷)، موقعیت انتهای شکاف آبشنی و باله سینه‌ای با موقعیت قدامی- پشتی (مربوط به جابه‌جایی لندمارک‌های ۱۴ و ۱۳)، ساقه دمی درازتر (مربوط به جابه‌جایی لندمارک‌های ۸ و ۱۰)، عرض کمتر بدن در ناحیه باله شکمی، موقعیت پشتی‌تر باله شکمی (مربوط به جابه‌جایی لندمارک ۱۲) و قاعده باله مخرجی بزرگ‌تر (مربوط به جابه‌جایی لندمارک‌های ۱۰ و ۱۱) بود. همچنین، اعضای رودخانه لوداب دارای سر کوچک، پوزه کوتاه و زیرین (مربوط به جابه‌جایی لندمارک‌های ۱، ۱۷، ۳ و ۵)، موقعیت پشتی باله سینه‌ای، انتهای شکاف آبشنی پشتی (مربوط به جابه‌جایی لندمارک‌های ۱۴ و ۱۳)، ساقه دمی درازتر (مربوط به جابه‌جایی لندمارک‌های ۹ و ۸ و ۱۰) و بدن کم عرض در ناحیه باله شکمی (مربوط به جابه‌جایی لندمارک ۱۳) بود (شکل ۴).

در زیرشاخه دوم، جمعیت‌های چم‌گران و دیره از لحاظ شکل بدن به هم نزدیک‌تر بود. بر اساس الگویی، جابه‌جایی لندمارک‌های جمعیت سیاه‌ماهی تؤینی سراب کیوره دارای سری با موقعیت فوچانی و کوچک (مربوط به جابه‌جایی لندمارک‌های ۱، ۱۶ و ۱۷)، دهان فوچانی و لبه زیرین چشم (مربوط به جابه‌جایی لندمارک‌های ۱۷ و ۱۶)، باله سینه‌ای و انتهای شکاف آبشنی شکمی- قدامی (مربوط به جابه‌جایی لندمارک‌های ۴ و ۱۴)، باله پشتی با موقعیت جلویی (مربوط به جابه‌جایی لندمارک‌های ۶ و ۷) و

## فصله



شکل ۴. نمودار آنالیز خوش‌ای شکل بدن سیاه ماهی توئینی مورد مطالعه (شبکه‌های تغییر شکل نشان‌دهنده تفاوت هر گروه نسبت به شکل میانگین است)

انتهای ساقه دمی اندکی قدامی و کوچک‌تر (مربوط به جابه‌جایی لندهارک‌های ۸، ۹ و ۱۰) و اندازه پهن‌تر بدن در ناحیه باله پشتی و شکمی (مربوط به جابه‌جایی لندهارک‌های ۵، ۶ و ۱۲) بود. جمعیت رودخانه قره‌آقاج نیز دارای پوزه کشیده‌تر، سری بزرگ‌تر و عریض‌تر (مربوط به جابه‌جایی لندهارک‌های ۱، ۳ و ۱۶) و ابتدای قاعده باله سینه‌ای و انتهای شکاف آبششی خلفی (مربوط به جابه‌جایی لندهارک‌های ۴ و ۱۴) بود. در این گروه عرض ساقه دمی فشرده‌تر و کوچک‌تر (مربوط به جابه‌جایی لندهارک‌های ۷ و ۱۰) و بدن باریک‌تر در ناحیه باله پشتی و شکمی (مربوط به جابه‌جایی لندهارک‌های ۶، ۷ و ۱۲) است.

در زیرشاخه سوم، جمعیت‌های دیمه و عکس رستم شباهت بالایی به هم دارد و شکل بدن آن‌ها متفاوت‌تر از زاینده‌رود، قره‌آقاج و دالکی است (شکل ۴). بر اساس الگوی جابه‌جایی لندهارک‌ها در جمعیت عکس رستم بیشترین تفاوت مربوط به تغییر جایگاه لندهارک‌های مستقر در نیمة جلویی بدن بود. اعضای این گروه دارای سر بزرگ‌تر و عریض‌تر (مربوط به جابه‌جایی لندهارک‌های ۱، ۳، ۱۶ و ۱۷)، باله سینه‌ای شکمی‌تر (مربوط به جابه‌جایی لندهارک‌های ۴ و ۱۴) و عرض بدن کوچک در ناحیه مخرجی (مربوط به جابه‌جایی لندهارک‌های ۱۱ و ۱۲) بود. همچنین، در اعضای این جمعیت، عرض در

Robinson and Wilson, 1994; Wimberger, 1994; Robinson & Wilson, 1995; Smith & Skulason, 1996; Ruzzante *et al.*, 1998; (Mittelbach *et al.*, 1999; Holtmeier, 2001).

از آنجا که هدف این تحقیق بررسی و مقایسه شکل بدن (ویژگی ریخت‌شناختی) جمعیت‌های سیاه ماهی تؤینی در آب‌های داخلی ایران به منظور شناسایی ریختی آن‌ها بود، نتایج با استفاده از روش ریخت‌سنجدی هندسی توانست تفاوت‌های ریختی جمعیت‌های مختلف سیاه ماهی تؤینی را به خوبی آشکار کند. همچنین، این نتایج شناسایی بهتر آن‌ها را در مناطق جغرافیایی مختلف امکان‌پذیر می‌کند. نتایج بررسی جمعیت‌ها بر اساس روش ریخت‌سنجدی هندسی، سیزده جمعیت مورد مطالعه را به چهار گروه مختلف از نظر شکل بدن تقسیک کرد. بر این اساس، جمعیت رودخانه کرдан که گروه مجزایی را تشکیل داده بود بدنی باریک‌تر، سر کوچک‌تر، پوزه کوتاه‌تر و متمایل به سمت پایین، ساقه دمی کوچک‌تر و باله سینه‌ای قدامی تر داشت. این ویژگی‌ها به منزله ویژگی‌های قابل تشخیص این جمعیت است. بر اساس نتایج این مطالعه سه جمعیت کرمان، جازموریان و لوداب به دلیل شباهت‌های متعدد ریختی، یک گروه از زیرشاخه آنالیز خوش‌های را تشکیل داد، ولی اعضای جمعیت جازموریان بدنی کوچک‌تر، دهان فوچانی تر، پوزه کوتاه‌تر و متمایل به سمت پایین، چشم نزدیک‌تر به خط عمود بالای چشم، باله سینه‌ای قدامی تر، باله مخرجی بزرگ‌تری داشت که این ویژگی‌ها مربوط به ارتفاع بدن، جایگاه دهان، باله سینه‌ای و اندازه ساقه دمی است، که احتمالاً به واسطه انعطاف‌پذیری ریختی تحت تأثیر فاکتورهای محیطی و به واسطه سازگاری در فرایند تکامل موجود حاصل شده است (Guill *et al.*, 2003).

نتایج همچنین نشان داد که جمعیت‌های مربوط

جمعیت دیمه دارای پوزه بزرگ‌تر، سر عریض‌تر و متمایل به سمت پایین (مربوط جابه‌جایی لندرمارک‌های ۱، ۱۷ و ۱۶)، موقعیت شکمی چشم (مربوط جابه‌جایی لندرمارک ۲)، انتهای شکاف آبششی و باله سینه‌ای خلفی و بالایی، بدن کشیده (مربوط جابه‌جایی لندرمارک‌های ۴ و ۱۴)، عرض بدن پهن‌تر (مربوط جابه‌جایی لندرمارک‌های ۶، ۵ و ۷) و ساقه دمی بزرگ‌تر (مربوط به جابه‌جایی لندرمارک‌های ۹ و ۱۰) است.

جمعیت زاینده‌رود دارای سری بزرگ، پهن و پوزه کشیده (مربوط به جابه‌جایی لندرمارک‌های ۱، ۷ و ۳)، عرض کم بدن در ناحیه باله پشتی (مربوط به جابه‌جایی لندرمارک‌های ۶ و ۷)، جابه‌جایی موقعیت انتهایی شکاف آبششی و باله سینه‌ای به سمت خلفی (مربوط به جابه‌جایی لندرمارک‌های ۴ و ۱۴) و ساقه دمی کوچک (مربوط به جابه‌جایی لندرمارک‌های ۹ و ۱۰) است. نمونه‌های رودخانه دالکی نیز دارای پوزه کشیده (مربوط به جابه‌جایی لندرمارک ۱)، باله پشتی عقبی با بدن پهن در این ناحیه (مربوط به جابه‌جایی لندرمارک‌های ۶ و ۷)، طول ساقه دمی کوتاه و موقعیت باله مخرجی خلفی و نزدیک به باله (مربوط به جابه‌جایی لندرمارک‌های ۱۰، ۱۱ و ۸) بود.

## ۴. بحث و نتیجه‌گیری

نتایج این تحقیق نشان داد که جمعیت‌های مورد مطالعه به لحاظ ریختی از یکدیگر متمایز است. در این تحقیق با استفاده از ریخت‌سنجدی هندسی تمایز بین جمعیت‌های مورد بررسی کاملاً آشکار شد که بیانگر تمایز ریختی وابسته به فاصله جغرافیایی، سازگاری به ویژگی‌های زیستگاه آن‌ها و حتی تعلق احتمالی آن‌ها به آرایه‌های متفاوت است (Langerhans *et al.*, 2010). اساساً بسیاری از گونه‌های ماهیان در زیستگاه‌های مختلف تفاوت‌های ریختی نشان می‌دهند

خلفی و بالایی، ارتفاع بدن بیشتر و ساقه دمی بزرگ‌تر است. همچنین، ویژگی‌های تفکیک‌پذیر دیگر اعضای این گروه شامل ساقه دمی کوچک‌تر، پوزه کشیده‌تر و باله سینه‌ای خلفی‌تر است.

فاکتورهای محیطی به واسطه انتخاب طبیعی سبب افزایش کارایی یک ریخت در بین افراد یک زیستگاه و در نتیجه جداسازی جمعیت‌های آن در زیستگاه‌های مختلف می‌شود، که سبب گونه‌زایی می‌شود که نشان‌دهنده سیر تکاملی جمعیت‌هاست (Smith & Skulason, 1996). بنابراین تفاوت‌های شکل بدن بین جمعیت‌های مورد بررسی علاوه بر انعطاف‌پذیری ریختی آن‌ها تحت تأثیر فاکتورهای محیطی (Guill *et al.*, 2003) بیانگر تعلق احتمالی آن‌ها به آرایه متفاوت به واسطه فرایند گونه‌زایی است. با توجه به اینکه تفاوت‌های ریختی مختلفی در بین اعضای این گونه در حوزه‌های مختلف بیان شده است و محققان اعتقاد به جداسازی این گونه به گونه‌های متعدد دارند (Krupp, 1985; Bianco & Banarescu, 1982)، ولی مقایسه ویژگی ریخت‌سنجدی سنتی و شمارشی اعضای این گونه در حوزه‌های مختلف امکان جداسازی آن‌ها را بر اساس این ویژگی‌ها نمی‌دهد (Coad, 2014). با وجود این، روش ریخت‌سنجدی هندسی با قابلیت بالا در آشکارسازی تفاوت‌های ریختی نسبت به روش ریخت‌سنجدی سنتی، توانست تفاوت‌های شکل بدن در بین جمعیت‌های مختلف سیاه ماهی تؤینی را بر اساس فاصله جغرافیایی و زیستگاه نشان دهد. از این رو، بهمنزله ابزاری برای مطالعات ریخت‌شناسختی و آرایه‌شناسی در کنار سایر روش‌ها به کار می‌رود.

به رودخانه‌های مختلف حوزه دجله (دیره، چم‌گران، بشار، سراب کیوره) به دلیل شباهت‌های شکل بدن در یک گروه قرار می‌گیرند که بیانگر رابطه فاصله جغرافیایی و شکل بدن یا به عبارت دیگر، نشان‌دهنده رابطه ژنتیکی نزدیک‌تر آن‌هاست (Mohadesi *et al.*, 2013; Eagderi *et al.*, 2013). در این گروه دو جمعیت رودخانه‌های چم‌گران و دیره شباهت بیشتری به یکدیگر دارند که ویژگی‌های مشخص آن‌ها همانند سایر اعضای حوزه دجله البته با اندکی تفاوت شامل سری بزرگ‌تر و کاملاً متمایل به سمت بالا، دهان فوقانی‌تر، موقعیت باله سینه‌ای و انتهای شکاف آبششی شکمی - خلفی، باله پشتی قدامی‌تر، باله شکمی خلفی‌تر و در این ناحیه عرض بدن بیشتر و ساقه دمی طویل‌تر است. از آنجا که ویژگی‌های مربوط به جایگاه سر و دهان، موقعیت باله‌ها و ساقه دمی در قالب صفاتی مانند شکل بدن، الگوی تغذیه و الگوی شنا بروز می‌کند، هر کدام از این ویژگی‌های ریختی مزیتی عملکردی مرتبط با زیستگاه به واسطه انعطاف‌پذیری ریختی است (Eklov & Jonsson, 2007; Januszkieciewicz & Robinson, 2007).

در نهایت، جمعیت رودخانه‌های دیمه، عکس رستم، زاینده‌رود، قره‌آقاج و دالکی از لحاظ شباهت شکل بدن در یک گروه قرار گرفت، در این گروه جمعیت‌های عکس رستم و دیمه شباهت بیشتری به هم داشت. ویژگی‌های قابل شناسایی جمعیت عکس رستم سر بزرگ‌تر، باله سینه‌ای شکمی‌تر، عرض بدن کمتر در ناحیه باله مخرجی، ساقه دمی کوچک‌تر و متمایل به سمت بالا و ارتفاع بدن پهن‌تر و جمعیت رودخانه دیمه داشتن پوزه و سر بزرگ‌تر و متمایل به سمت پایین، موقعیت چشم شکمی‌تر، باله سینه‌ای

## References

- [1]. **Abdoli A.** 2000. The Inland Water Fishes of Iran. Iranian Museum of Nature and Wildlife, Tehran, 378 pp. (in Persian)
- [2]. **Adams, D.C., Rohlf, F.J., Slice, D.E., 2004.** Geometric morphometrics: Ten years of progress following the 'Revolution'. *Italian Journal of Zoology* 71: 5-16.
- [3]. **Anvarifar, H., Khyabani, A., Farahmand, H., Vatandoust, S., Anvarifar H., Jahageerdar, S., 2011.** Detection of morphometric differentiation between isolated up- and downstream populations of Siah Mahi (*Capoeta capoeta gracilis*) (Pisces: Cyprinidae) in the Tajan River (Iran). *Hydrobiologia* 673, 41-52.
- [4]. **Bianco, P.G., Banarescu, P., 1982.** A contribution to the knowledge of the Cyprinidae of Iran (Pisces, Cypriniformes). *Cybium* 6(2), 75-96.
- [5]. **Banarescu, P., Nalbant, T.T., Goren, M., 1982.** The Noemacheiline loaches from Israel (Pisces: Cobitidae: Noemacheilinae). *Israel Journal of Zoology* 31, 1-25.
- [6]. **Bookstein, F.L., 1991.** Morphometric Tools for Landmark Data: Geometry and Biology. Cambridge University Press.
- [7]. **Coad, B.** 2013. Freshwater fishes of Iran. Available from <http://www.briancoad.com> Accessed on 19 May 2013.
- [8]. **Eagderi, S., Esmaeilzadegan, E., Madah, A., 2013.** Body shape variation in riffle minnows (*Alburnoides eichwaldii* De Filippii, 1863) populations of Caspian Sea basin. *Journal of Taxonomy and Biosystematics*, 5(4), 1-8. (in Persian)
- [9]. **Eklov P., Jonsson P., 2007.** Pike predators induce morphological changes in young perch and roach. *Journal of Fish Biology* 70, 155-164.
- [10]. **Guill, J.M., Hood, C.S., Heins, D.C., 2003.** Body shape variation within and among three species of darters (Perciformes: *Percidae*). *Ecology of Freshwater Fish* 12, 134-140.
- [11]. **Heidari, A., Mousavi-Sabet, H., Khoshkhogh, M., Esmaeli H.R., Eagderi E., 2013.** The impact of Manjil and Tarik dams (Sefidroud River, southern Caspian Sea basin) on morphological traits of Siah Mahi *Capoeta gracilis* (Pisces: Cyprinidae). *International Journal of Aquatic Biology* 1(4), 195-201.
- [12]. **Holtmeier, C.L., 2001.** Heterochrony, maternal effects, and phenotypic variation among sympatric pupfishes. *Evolution* 55, 330-338.
- [13]. **Januszkiewicz A.J., Robinson B.W., 2007.** Divergent walleye (*Sander vitreus*) mediated inducible defenses in the centrarchid pumpkinseed sunfish (*Lepomis gibbosus*). *Biological Journal of the Linnean Society* 90, 25-36.
- [14]. **Krupp, F., 1985.** Systematik und Zoogeographie der Süßwasserfische des levantinischen Grabenbruchsystems und der Ostküste des Mittelmeeres. Dissertation zur Erlangung des Grades "Doktor der Naturwissenschaften" am Fachbereich Biologie der Johannes Gutenberg - Universität in Mainz. 215 pp., Anhang: Abbildungen, Karten, Tabellen, 169 pp.
- [15]. **Langerhans R.B., Layman C.A., Langerhans A.K., DeWitt T.J., 2003.** Habitat-associated morphological divergence in two Neotropical fish species. *Biological Journal of Linnean Society* 80, 689-698.
- [16]. **Langerhans, R.B., Reznick, D.N., 2010.** Ecology and evolution of swimming performance in fishes: predicting evolution with biomechanics. In: *Fish locomotion: an ecoethological perspective* (eds. Domenici, P. and Kapoor, B. G.) 200-248. Science Publishers Inc, Enfield.
- [17]. **Mittelbach, G.G., Osenberg, C.W., Wainwright, P.C., 1999.** Variation in feeding morphology between pumpkinseed populations: phenotypic plasticity or evolution? *Evolutionary Ecology Research* 1, 111-128.
- [18]. **Mohadasi M., Shabanipour N., Eagderi S., 2013.** Habitat-associated morphological divergence in four Shemaya, *Alburnus chalcoides* (Actinopterygii: Cyprinidae) populations in the southern Caspian Sea using geometric morphometrics analysis. *International Journal of Aquatic Biology* 1(2), 82-92.
- [19]. **Robinson, B.W., Wilson, D.S., 1994.** Character release and displacement in fishes: a neglected literature. *American Naturalist* 1994, 596-627.
- [20]. **Robinson, B.W., Wilson D.S., 1995.** Experimentally induced morphological diversity in Trinidadian guppies (*Poecilia reticulata*). *Copeia* 1995, 294-305.
- [21]. **Rohlf, F.J., 2001.** Comparative methods for the analysis of continuous variables: geometric

- interpretations. *Evolution* 55, 2143-2160.
- [22]. **Rohlf, F.J., 2013.** tpsSMALL Version 1.25. Department of Ecology and Evolution, State University of New York at Stony Brook, New-York.
- [23]. **Ruzzante, D. E., Walde, S. J., Cussac, V. E., Macchi, P.J. and Alonso, M.F. 1998.** Trophic polymorphism, habitat and diet segregation in *Percichthys trucha* (Pisces: *Percichthyidae*) in the Andes. *Biological Journal of the Linnean Society* 65, 191-214.
- [24]. **Samaee S.-M., Patzner R.A., 2011.** Morphometric differences among populations of tu'ini, *Capoeta damascina* (Teleostei: *Cyprinidae*), in the interior basins of Iran. *Journal of Applied Ichthyology*, 27(3), 928-933.
- [25]. **Smith, T.B., Skulason, S., 1996.** Evolutionary significance of resource polymorphisms in fishes, amphibians, and birds. *Annual Review of Ecology and Systematics* 1996, 111-133.
- [26]. **Webster M.M., Atton N., Hart P.J.B., Ward A.J.W., 2011.** Habitat-specific morphological variation among threespine sticklebacks (*Gasterosteus aculeatus*) within a drainage basin. *PloSone*, 6: e21060.
- [27]. **Wimberger, P.H., 1994.** Trophic polymorphisms, plasticity and speciation in vertebrates. In: Stouder DJ, Fresh KL, Feller RJ, eds. *Theory and application in fish feeding ecology*. Columbia: University of South Carolina Press 1994, 9-43.
- [28]. **Zelditch, M. 2004.** Geometric morphometrics for biologists: a primer. Academic Press, New York.